

XI CONGRESO INTERNACIONAL DE AGRONOMÍA

Abril 2020



UNIWERSYTET
ROLNICZY
W KRAKOWIE

XI CONGRESO
LATINOAMERICANO DE
AGRONOMÍA

27, 28 y 29 de abril de 2020

CIDE



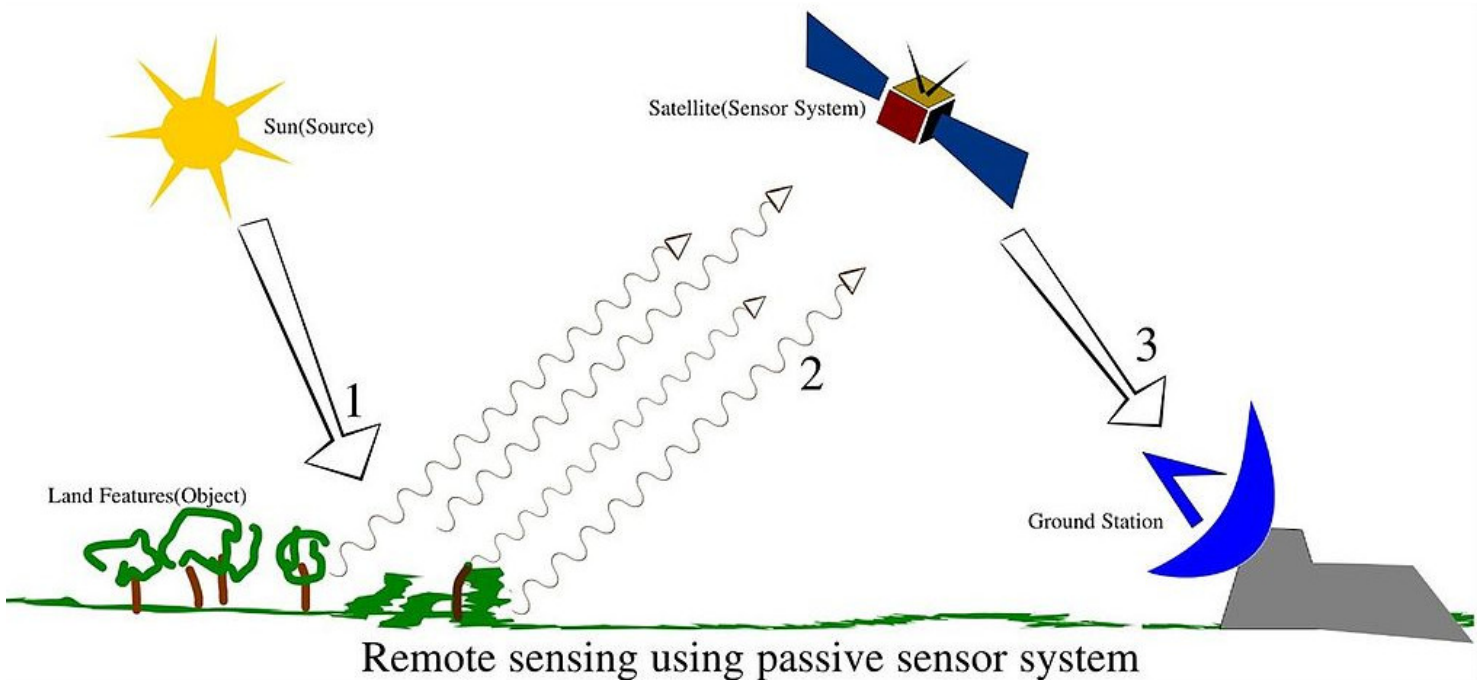
Uso de imágenes Sentinel-2 para la evaluación de la vegetación: aplicaciones y limitaciones

Mauricio Reyna, PhD

Facultad de Ingeniería Agrícola
Universidad Técnica de Manabí



Teledetección

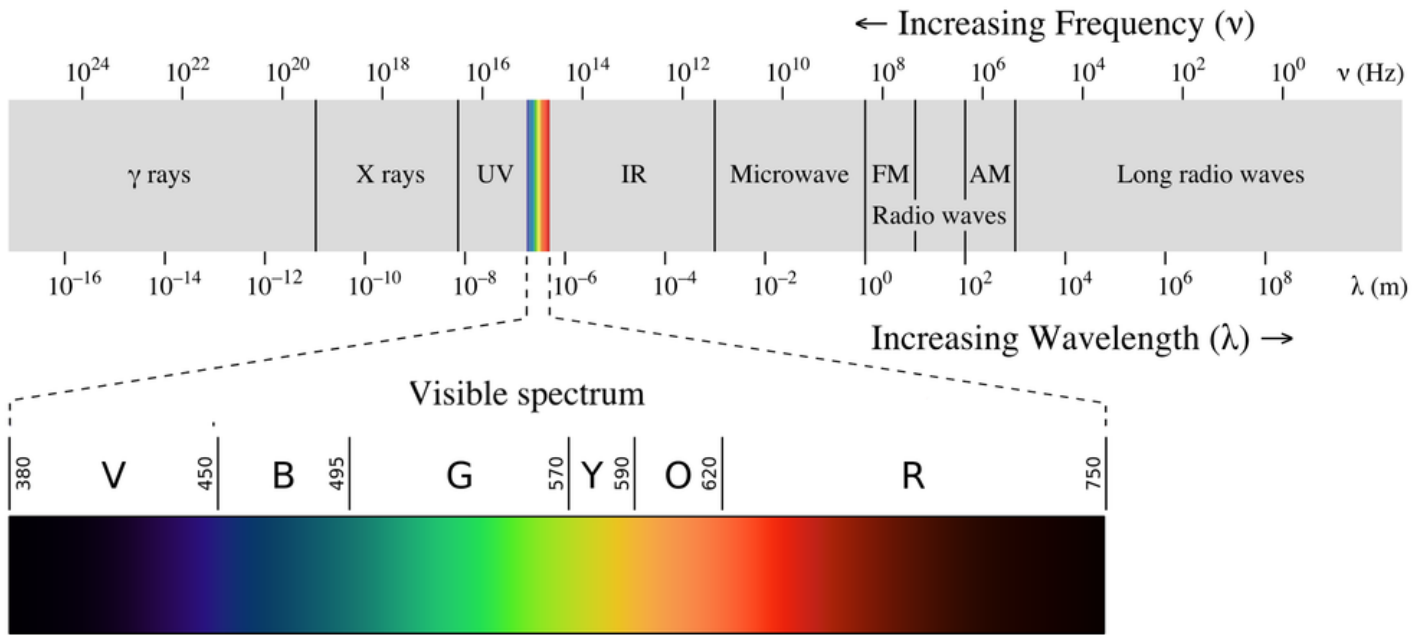


Source:

[Wikimedia commons](#)



EM



Source:

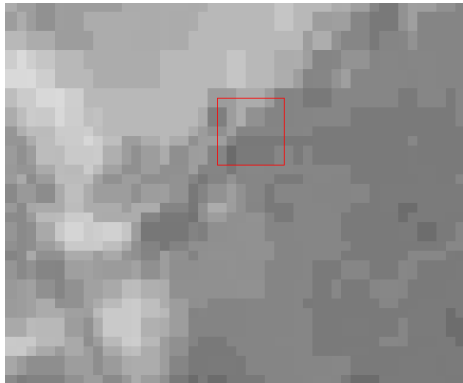
[Wikimedia commons](#)



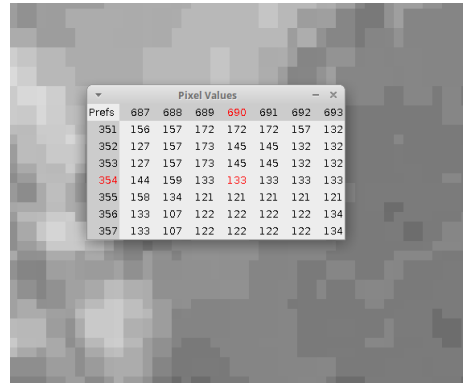
Imagen - Banda



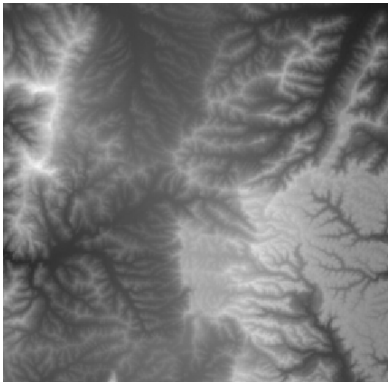
a. Imagen



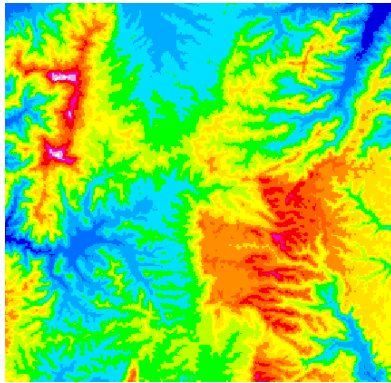
b. Pixeles



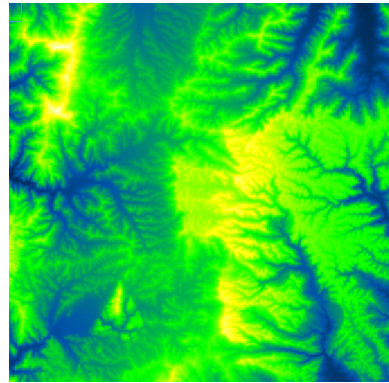
c. valor de pixel



d. Elevación



e. Colorized 1



f. Colorized 2



Composición en color



a. Red



b. Green



c. Blue



d. RGB



e. GRB



f. BGR



Sentinel-2

El programa Sentinel-2 del ESA comprende dos satélite de órbita polar cuyo objetivo es monitorear la variacion de la superficie de la tierra.

- swath 290km
 - tiempo de revisita (5 días)
 - Cobertura 56° sur and 84° norte.
 - MultiSpectral Instrument (MSI)
 - products disponibles:
 - Level 1B --> TOA radiancia
 - Level 1C --> TOA reflectancia
 - Level 2C --> Bottom-of-atmosphere reflectance



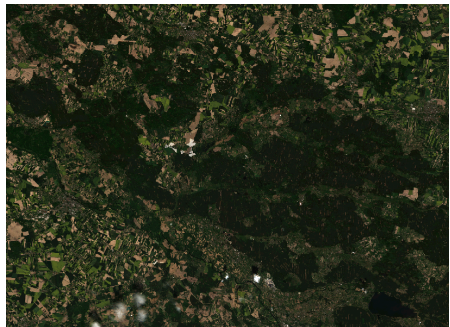
Source:

https://www.esa.int/ESA_Multimedia/Videos/2016/

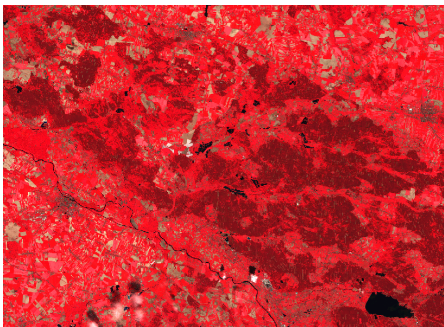
ID Banda λ (nm) Tamaño de pixel Rango espectral

1	B2	490		
2	B3	560	10 m	Visible
3	B4	665		
4	B8	842		NIR
5	B5	705		
6	B6	740		
7	B7	783	20 m	NIR
8	B8a	865		
9	B11	1610		SWIR
10	B12	2190		SWIR
11	B1	443		VIS
12	B9	940	60 m	NIR
13	B10	1375		SWIR

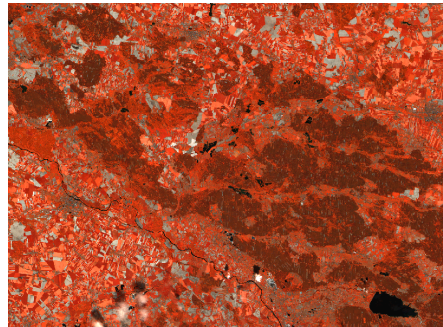




1. Natural Color



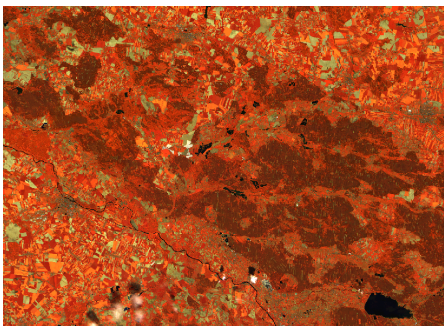
2. Vegetation



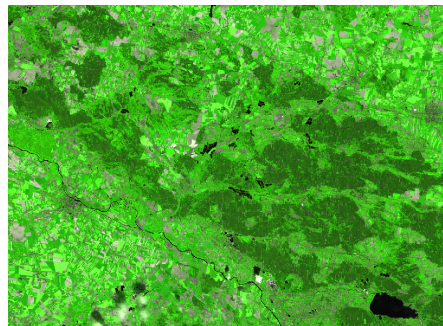
3. Vegetation-2



4. Healthy Vegetation



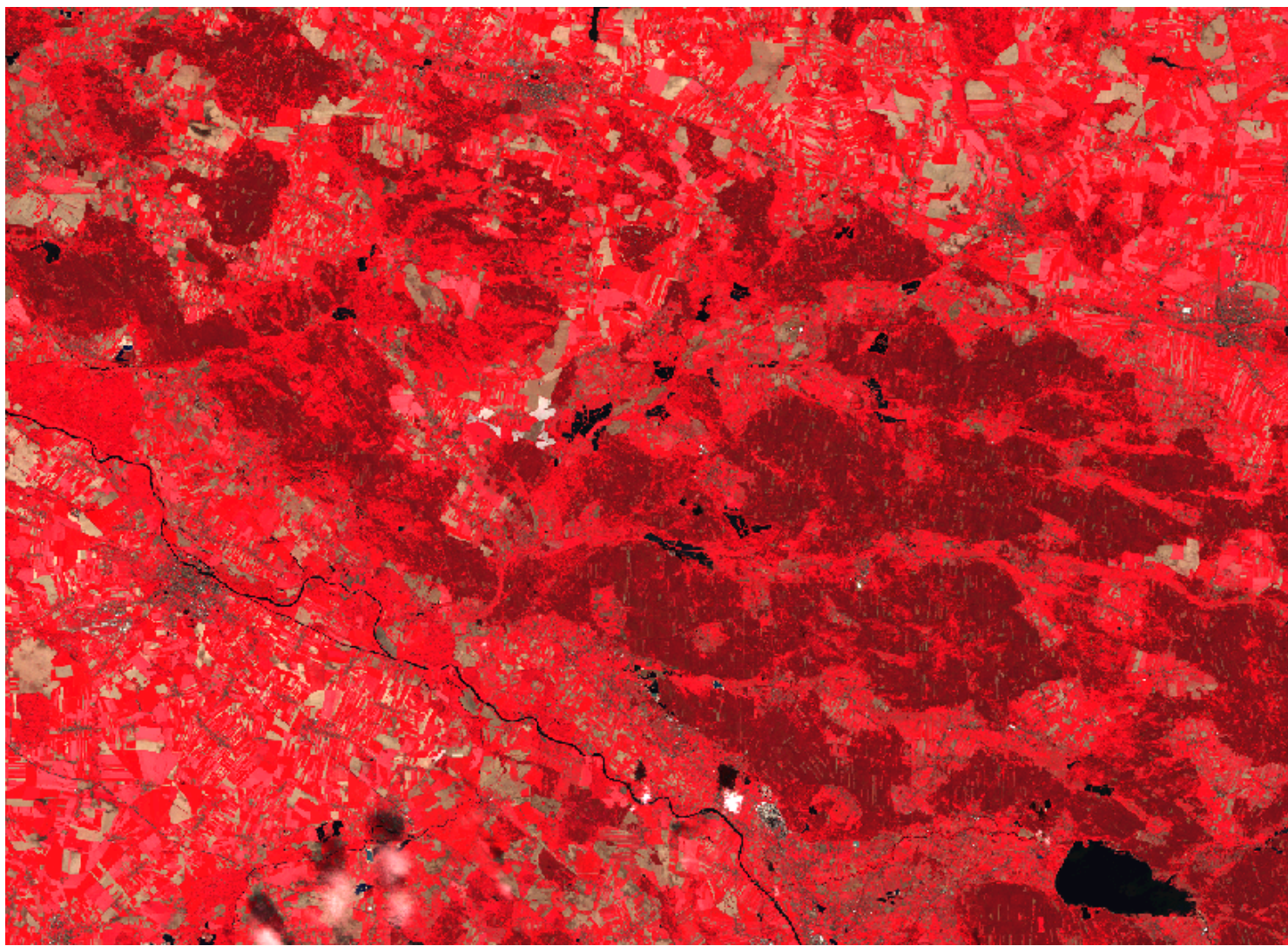
5. Agriculture

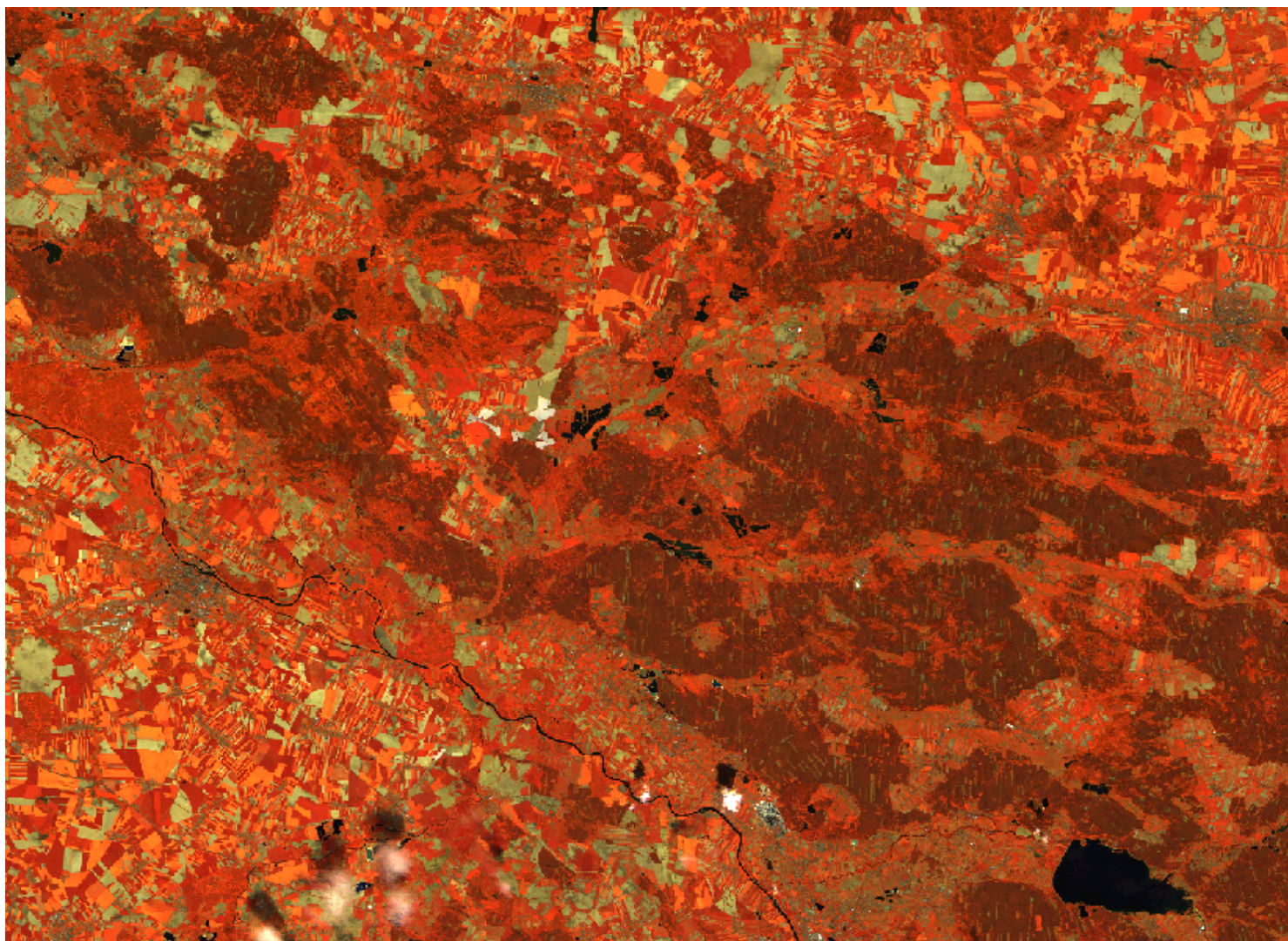


6. Land-water









Combinaciones de Bandas

- Natural Colors: 4 3 2
- False color Infrared: 8 4 3
- False color Urban: 12 11 4
- Agriculture: 11 8 2
- Atmospheric penetration: 12 11 8a
- Healthy vegetation: 8 11 2
- Land/Water: 8 11 4
- Natural Colors with Atmospheric Removal: 12 8 3
- Shortwave Infrared: 12 8 4
- Vegetation Analysis: 11 8 4

Source:

ESA BC



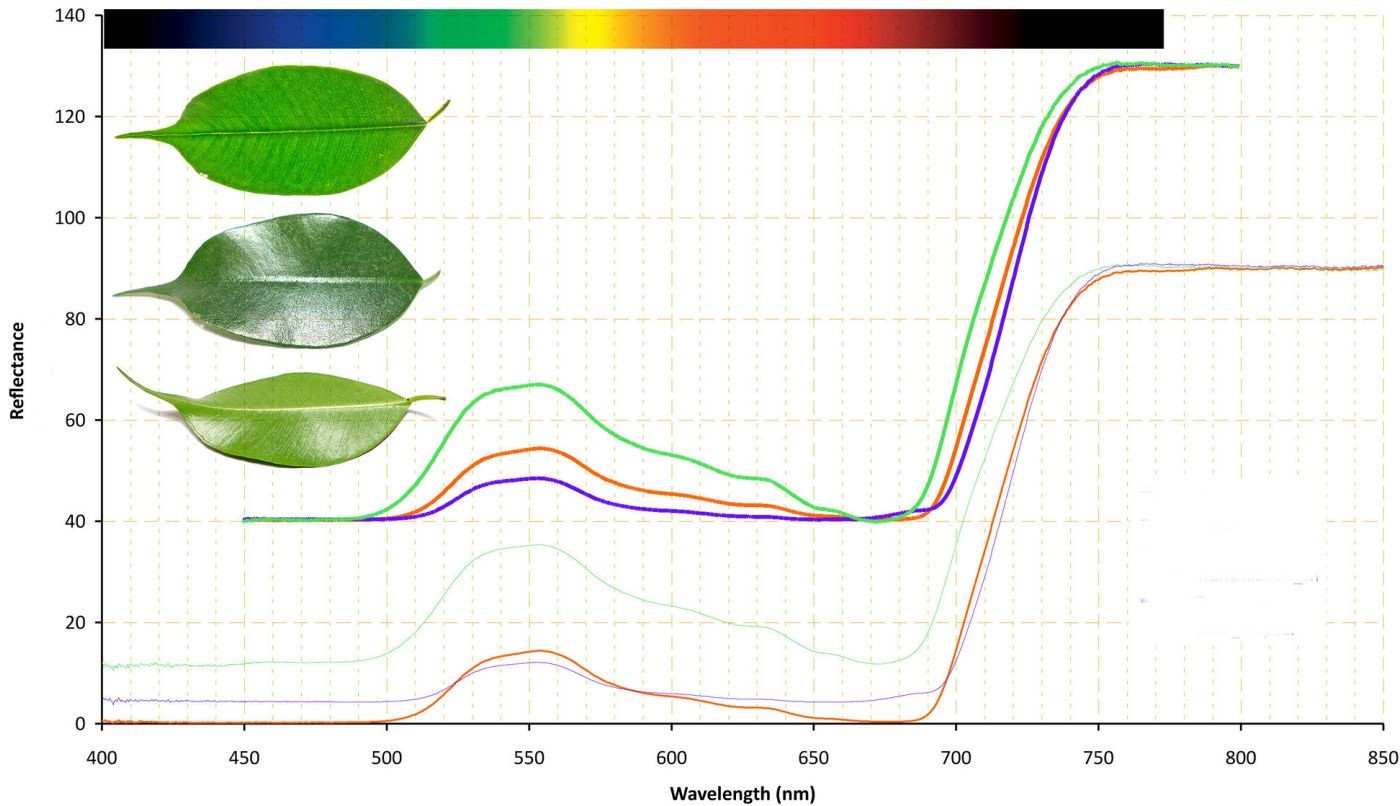
Índices de vegetación

En teledetección, un índice de vegetación usualmente se utiliza para discriminar densidad, condición y vitalidad de la vegetación, aumentando el contraste entre la vegetación y el suelo.

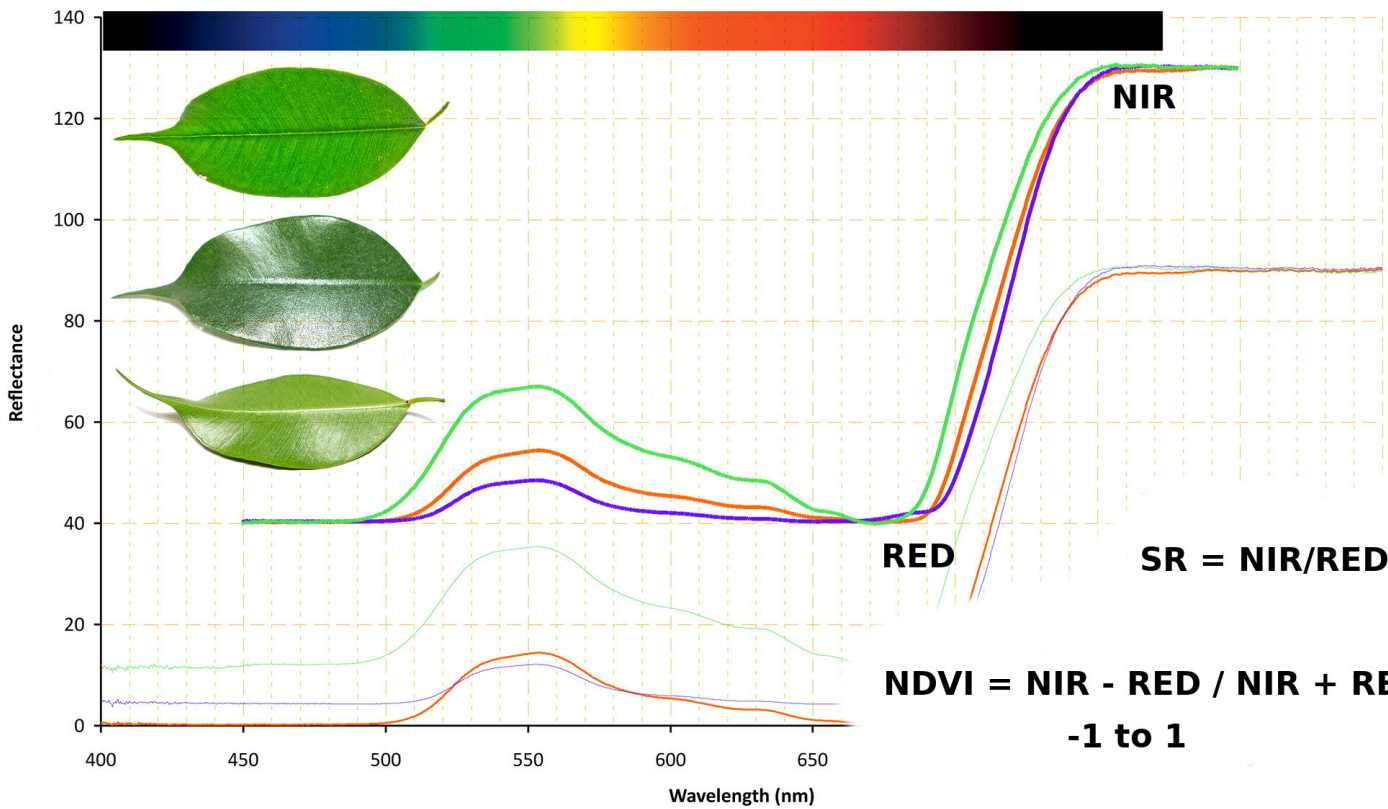
Se calcula bajo el criterio de que la vegetación fotosintéticamente activa tiene máxima absorción de la radiación en el canal rojo debido a los pigmentos de clorofila, y tiene reflectividad máxima en el infrarrojo cercano debido a la estructura celular de la hoja



Ficus leaf, reflectance and transmission; RAEF; 12 February 2016

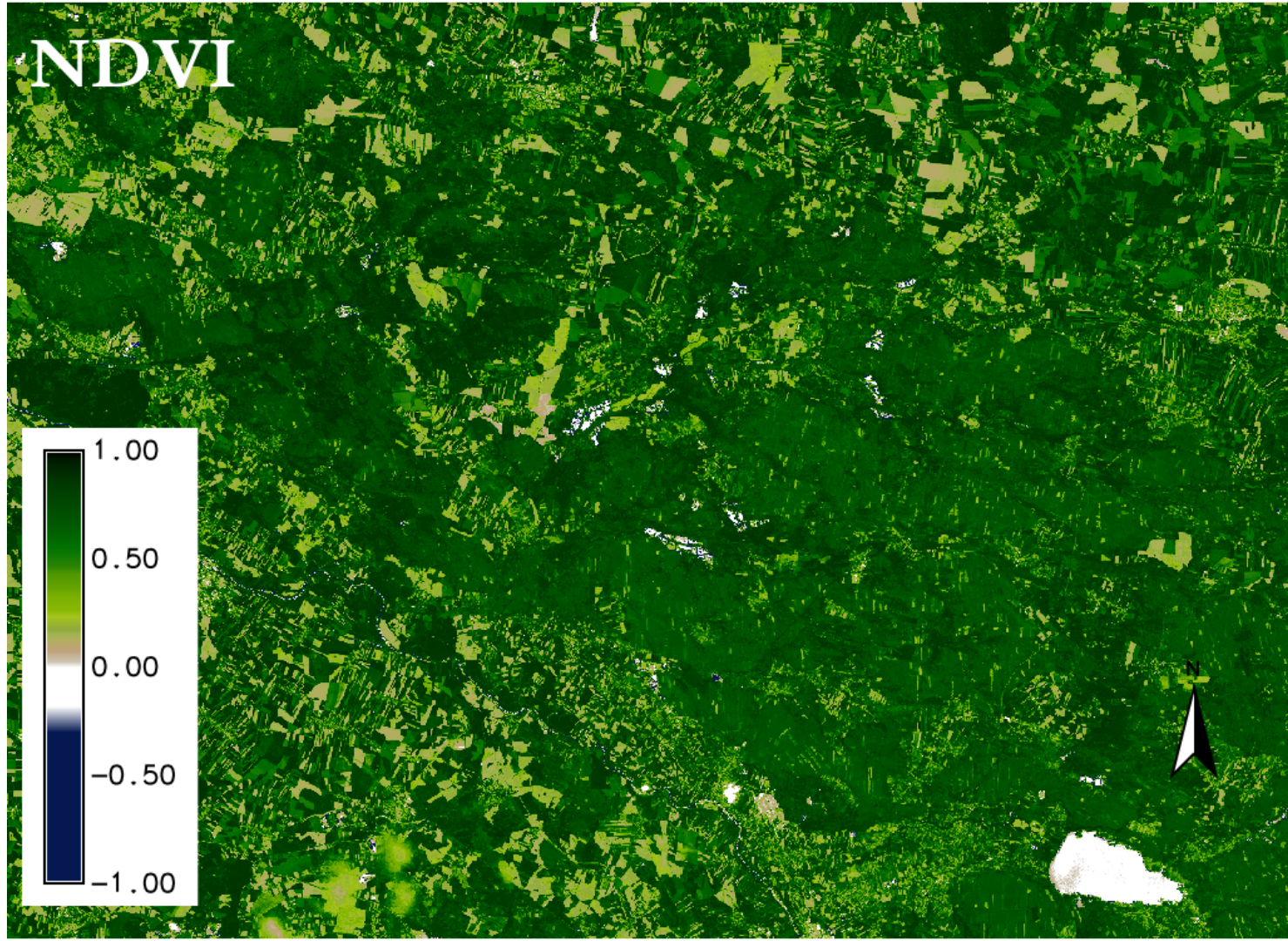


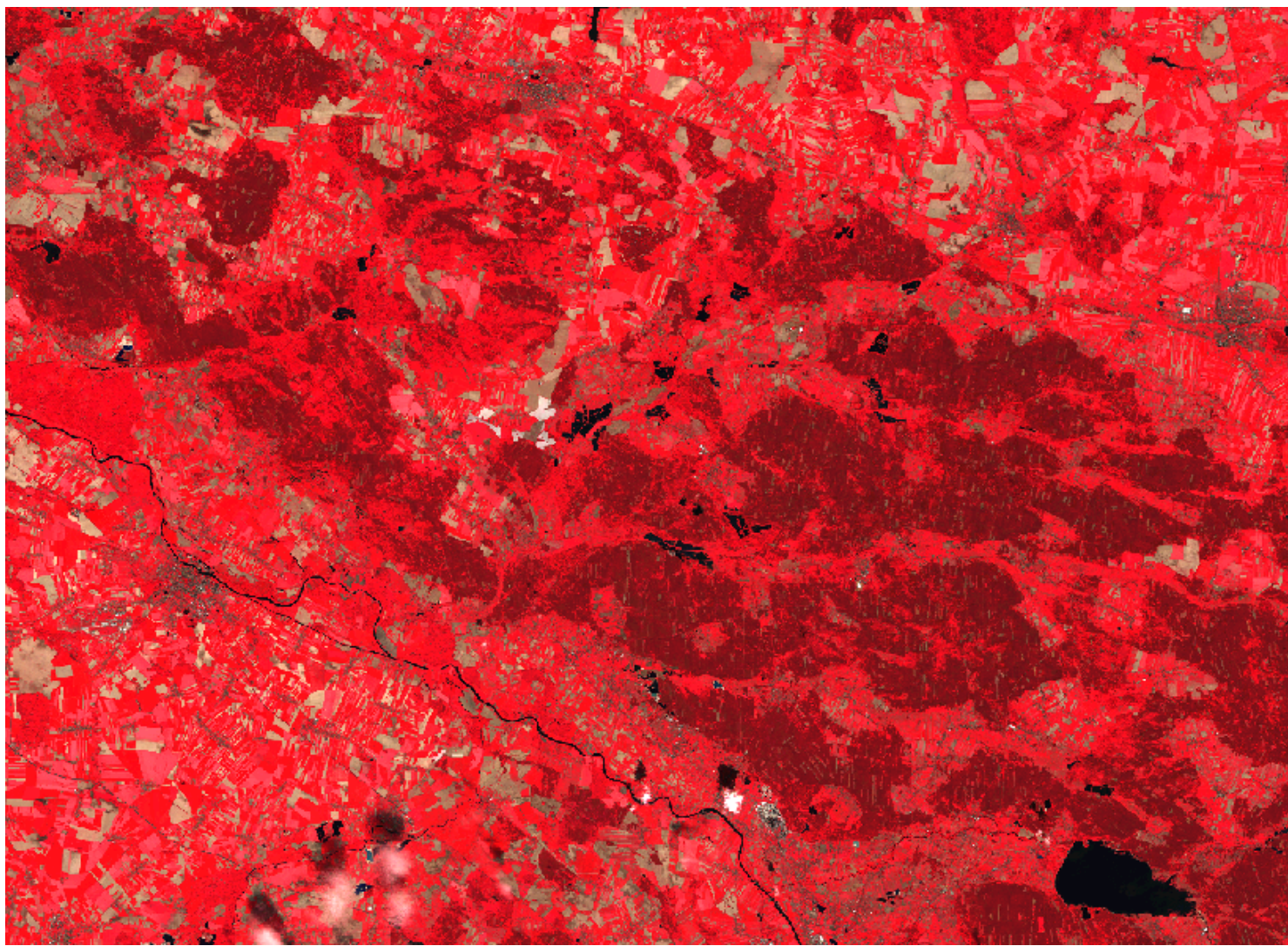
Ficus leaf, reflectance and transmission; RAEF; 12 February 2016



$$\text{NDVI} = \frac{B8 - B4}{B8 + B4} =$$

NDVI

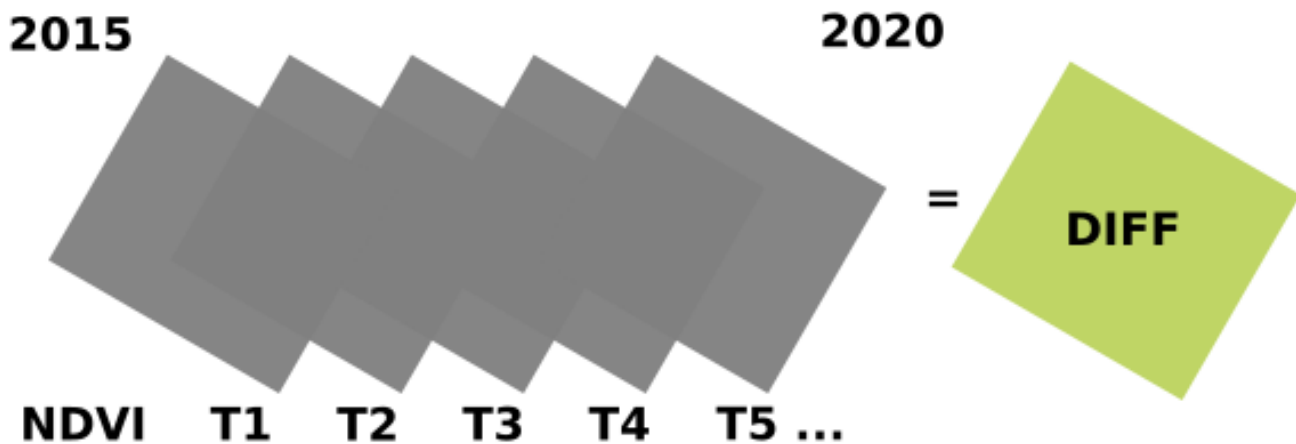




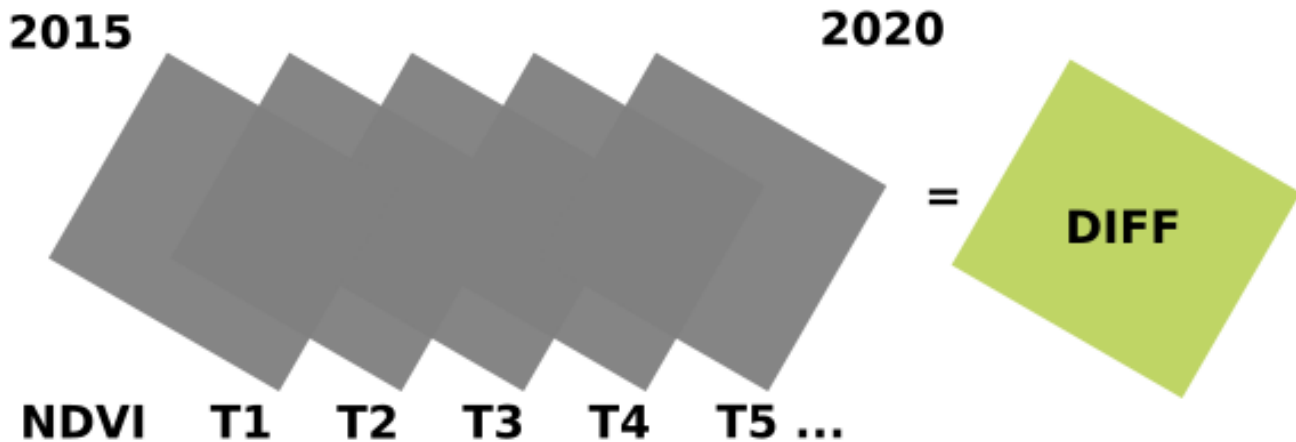
NDVI > 0.6



Estudio multitemporal



Estudio multitemporal



"Estudio multitemporal de la dinámica de la vegetación de la cuenca x para el periodo 2015-2020 con imágenes Sentinel-2"



Otros índices

Indices

Nr.	Name	Specific Formula	Calculated	Comment
1	Adjusted transformed soil-adjusted VI	$1.22 \frac{g - 1.225 - 0.03}{1.22g + 5 - 1.22 \cdot 0.03 + 0.08(1+1.22^2)}$	Automatic	
2	Aerosol free vegetation index 1600	$(g - 0.66 \frac{11}{g+0.6611})$	Automatic	
3	Aerosol free vegetation index 2100	$(g - 0.5 \frac{12}{g+0.5612})$	Automatic	
4	Alteration	$\frac{11}{12}$	Automatic	
5	Anthocyanin reflectance index	$\frac{1}{3} - \frac{1}{5}$	Automatic	
6	Ashburn Vegetation Index	$2.09 - 4$	Automatic	
7	Atmospherically Resistant Vegetation Index	$\frac{g-5-y(5-i)}{g+5-y(5-i)}$	Automatic	
8	Atmospherically Resistant Vegetation Index 2	$-0.18 + 1.17 \left(\frac{g-5}{g+5} \right)$	Automatic	
9	Blue-wide dynamic range vegetation index	$\frac{0.19-i}{0.19+i}$	Automatic	
10	Browning Reflectance Index	$\frac{\frac{1}{3} - \frac{1}{5}}{g}$	Automatic	
11	Canopy Chlorophyll Content Index	$\frac{g-5}{g+5}$ $\frac{g_{-Red}}{g_{-Red}}$	Automatic	
12	Chlorophyll Absorption Ratio Index	$\left(\frac{5}{4}\right) \frac{\sqrt{\left(\frac{5-j}{150} \cdot 670 + 4 + \left(3 - \left(\frac{5-j}{150} \cdot 550\right)\right)^2\right)}}{\left(\frac{5-j}{150^2} + 1\right)^{0.5}}$	Automatic	
13	Chlorophyll Absorption Ratio Index 2	$\left(\frac{\left \left(\frac{5-j}{150} \cdot 4 + 4 + 3 - (a \cdot j)\right)\right }{(a^2 + 1)^{0.5}}\right) \left(\frac{5}{4}\right)$	Automatic	
14	Chlorophyll Green	$\left(\frac{g}{3}\right)^{(-1)}$	Automatic	
15	Chlorophyll Index Green	$\frac{g}{3} - 1$	Automatic	
16	Chlorophyll IndexRedEdge	$\frac{g}{5} - 1$	Automatic	
17	Chlorophyll Red-Edge	$\left(\frac{g}{5}\right)^{(-1)}$	Automatic	

Source:

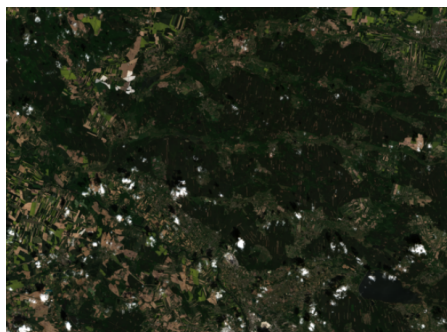
<https://www.indexdatabase.de/>



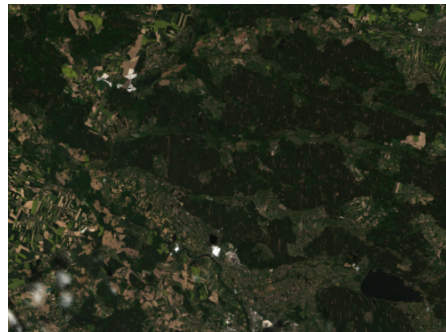
Multitemporal



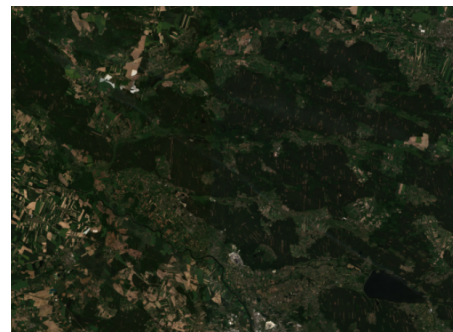
1



2



3



4



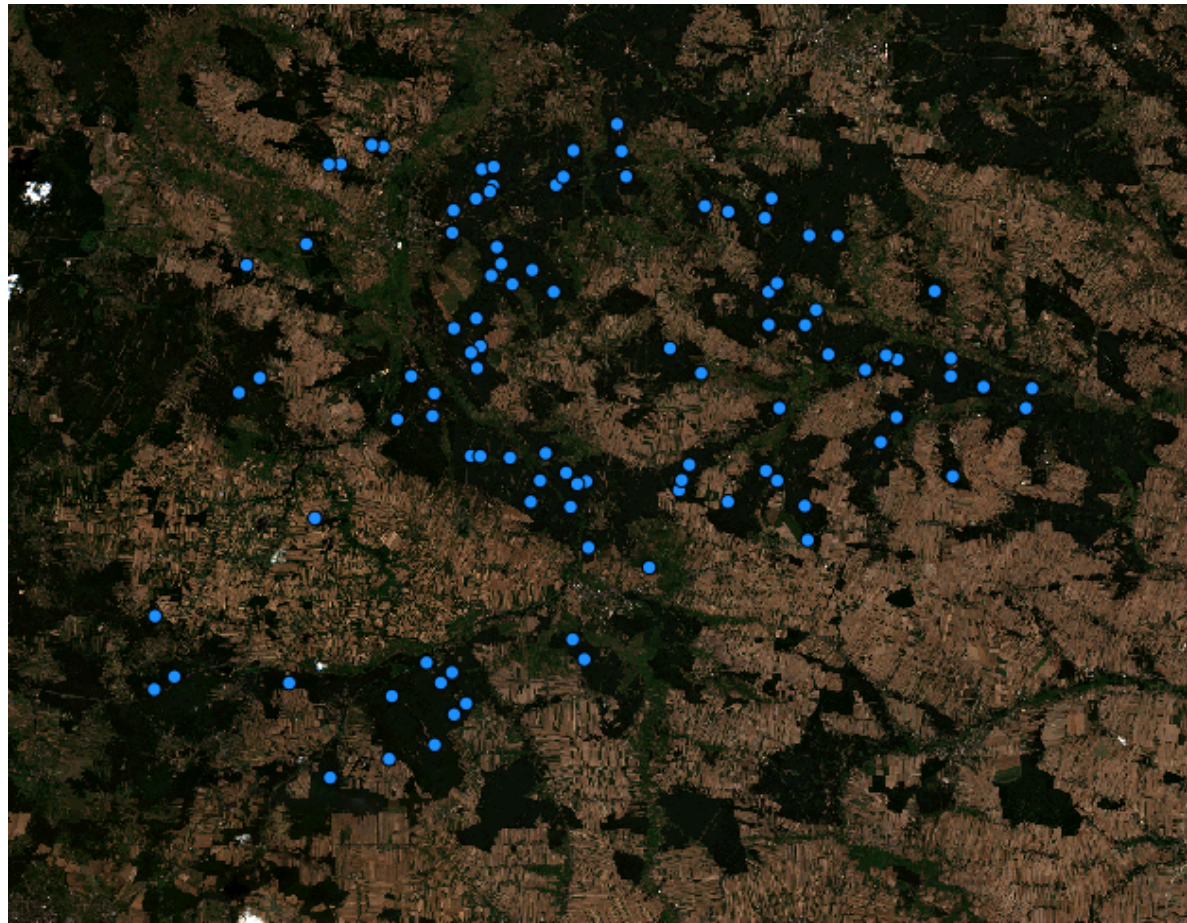
5



6



Muestreo



GRASS GIS Attribute Table Manager - <points_filtered@Koniecpol>

1 / Table points_filtered

Attribute data - right-click to edit/manage records

cat	X_92	Y_92	WATER_LEVEL	LITHOLOGYC	SIG_INDEX	SUM_CLAY_S	N2_C ↓	SUM_ACIDIT	INDEX_ACID
1	558207.0935	328407.6851	180	1	7	51.23	0.00132	64.7304	1.264
2	558430.4118	327172.1035	110	1	17	0	0.0059	181.5665	1.82
3	558649.5554	326009.3068	130	1	16	64.97	0.01309	103.6777	1.596
4	555436.3101	325586.8875	130	1	11	45.44	0.00744	95.5345	2.102
5	555770.4867	325965.4548	130	1	13	31.59	0.01753	83.3331	2.638
6	556217.169	327175.7536	180	1	9	51.41	0.00197	46.2649	0.9
7	552025.6731	326275.6859	170	1	9	62.87	0.00291	115.8168	1.842
8	552566.717	326391.6276	110	1	10	81.69	0.00119	108.8728	1.333
9	552536.9049	325519.4848	40	1	28	0	0.0138	75.3199	0.75

SQL Query

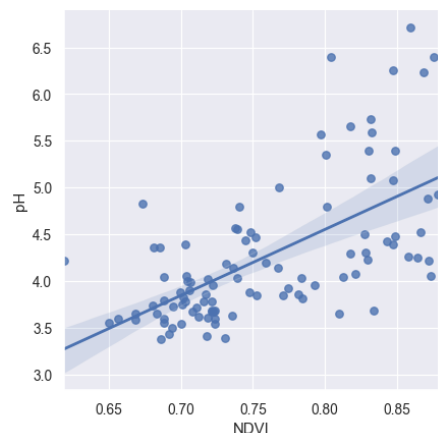
Simple Builder

SELECT * FROM points_filtered WHERE cat =

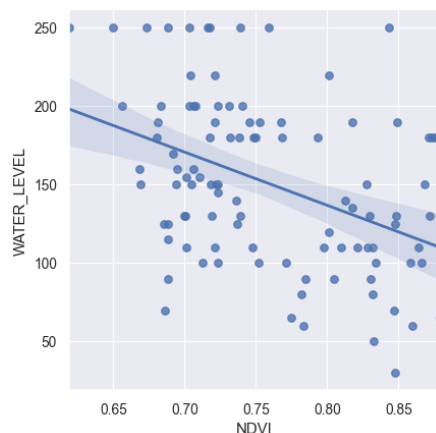
Browse data | Manage tables | Manage layers |

Number of loaded records: 99

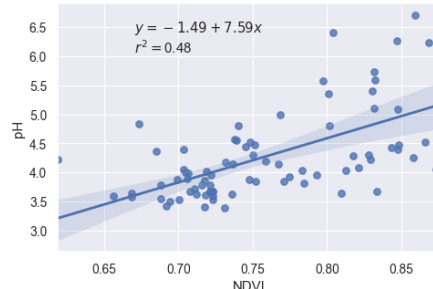
Modelo



1



2



3

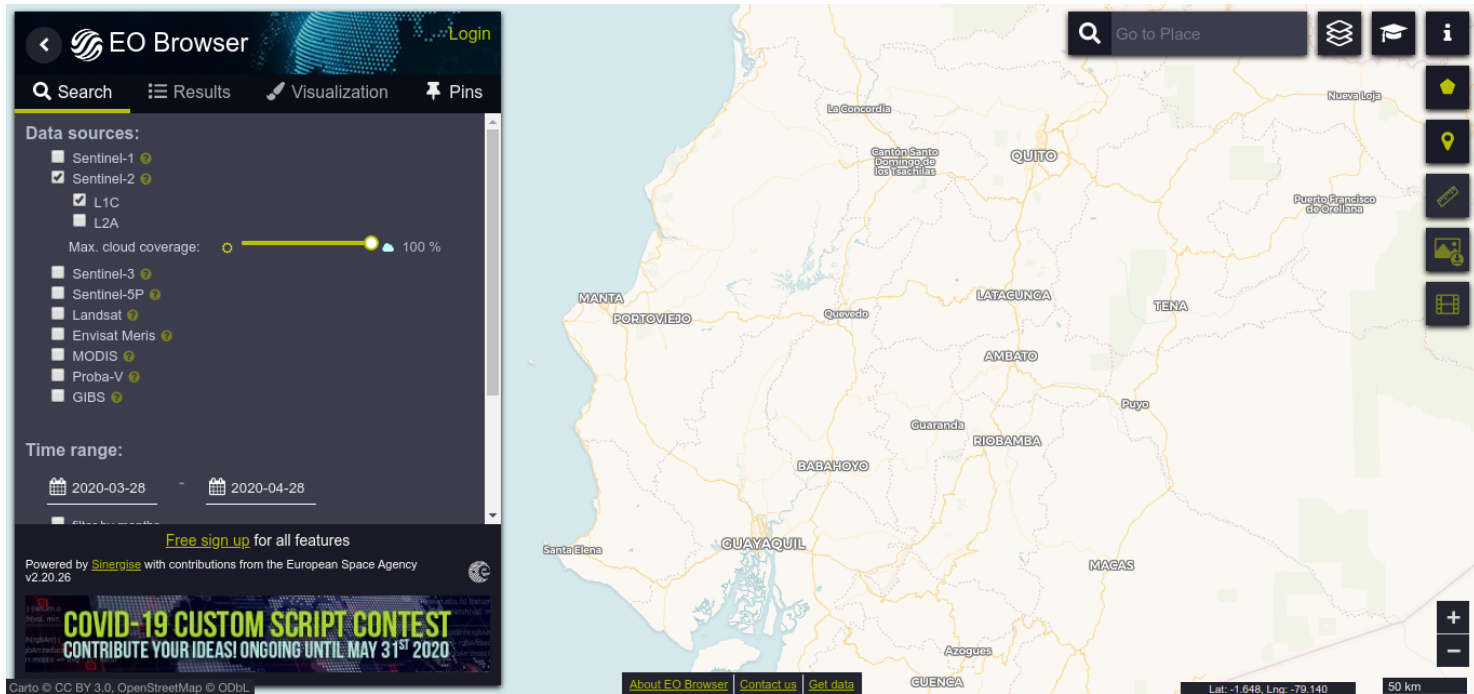


Limitaciones

- Presencia de nubes
- Temporalidad
- Información de campo
- Escala de trabajo
- Modelos offside



Descarga



Source:

<https://apps.sentinel-hub.com/eo-browser/>



Software

- QGIS
- GRASS GIS

<https://grass.osgeo.org/>

<https://qgis.org/>



Preguntas...



Contacto

Lizardo Mauricio Reyna Bowen
lreyna@utm.edu.ec | reyna.utm@gmail.com
Facultad de Ingeniería Agrícola
Universidad Técnica de Manabí
www.lreyna.com

